

TRANSFERÊNCIA DE CALOR


Terças e Quintas de 8:00 às 10:00 hs

Prof. Tania S. Klein

tania@eq.ufrj.br

Lab CFD

Aulas 18 e 19



❖ Trocadores de Calor

❖ Introdução

❖ Disposição das Correntes

❖ Tipos de Trocadores de Calor

❖ Coeficiente Global de Transferência de Calor

❖ Média Logarítmica da Diferença de Temperatura (MLDT)

❖ Condições Especiais

❖ MLDT para Passes Múltiplos e Correntes Cruzadas

❖ Método da Efetividade de NUT

❖ Metodologia de Cálculo de um Trocador

Trocadores de Calor



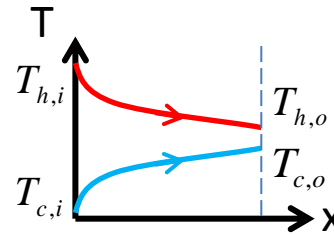
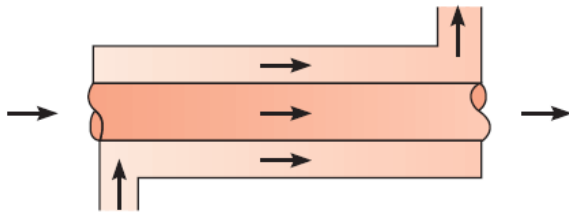
Introdução

- Equipamentos amplamente utilizados em todas as indústrias para troca de calor entre dois fluidos que estão a temperaturas diferentes. Neste capítulo, vamos nos restringir à trocadores onde os fluidos são separados por uma parede sólida.
- O fluido que entra com maior temperatura é chamado de fluido quente. O que entra com menor temperatura é o fluido frio. O fluido quente será resfriado e o frio, aquecido.
- O arranjo do escoamento dos fluidos, ou seja, a disposição das correntes, afeta a troca térmica, conforme discutiremos mais detalhadamente.
- Trocadores de calor podem ter ou não aletas, assim como internos para promoverem maior troca térmica ou promoverem maior suporte à estrutura.

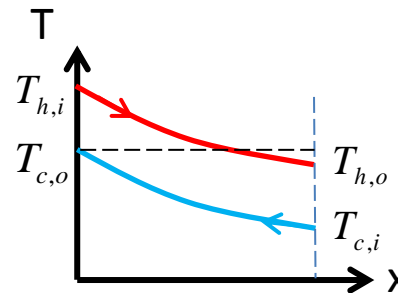
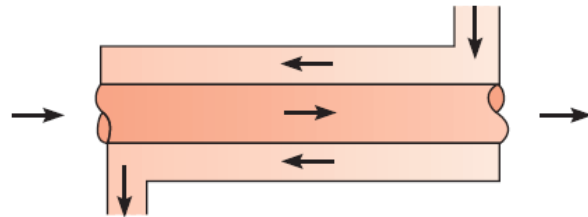
Disposição das Correntes

As correntes dos fluidos frio e quente podem ser:

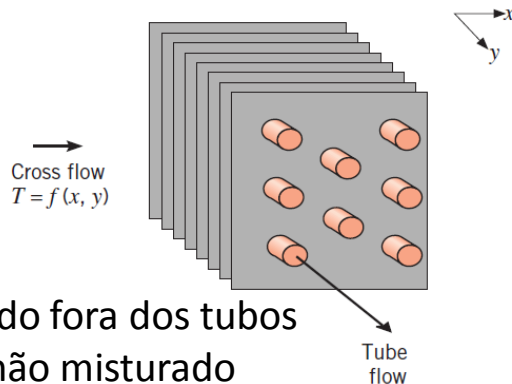
- paralelas: entram na mesma extremidade, escoam na mesma direção e saem na mesma extremidade;



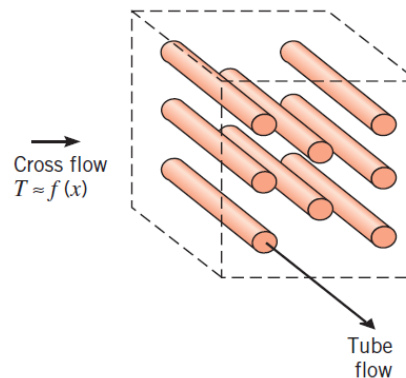
- contrárias: entram em extremidades opostas, escoam em direções opostas e saem em extremidades opostas.



- cruzadas: uma perpendicular à outra.



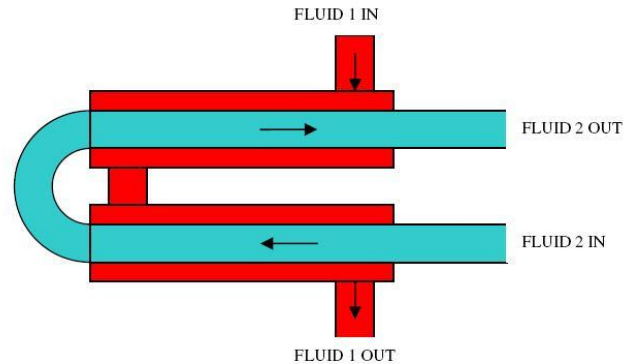
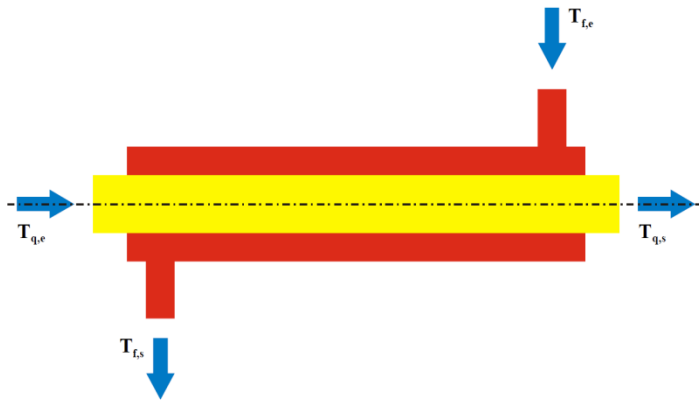
Fluido fora dos tubos
→ não misturado



Fluido fora dos tubos
→ misturado

Tipos de Trocadores de Calor

1) Tubos Concêntricos (Hairpin)



<http://www.enggcyclopedia.com/2011/05/heat-exchanger-types/>



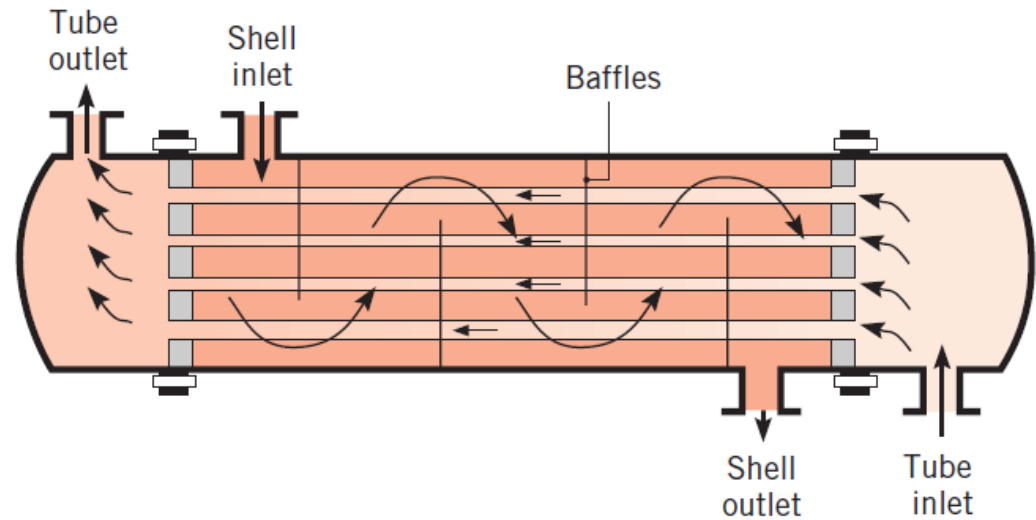
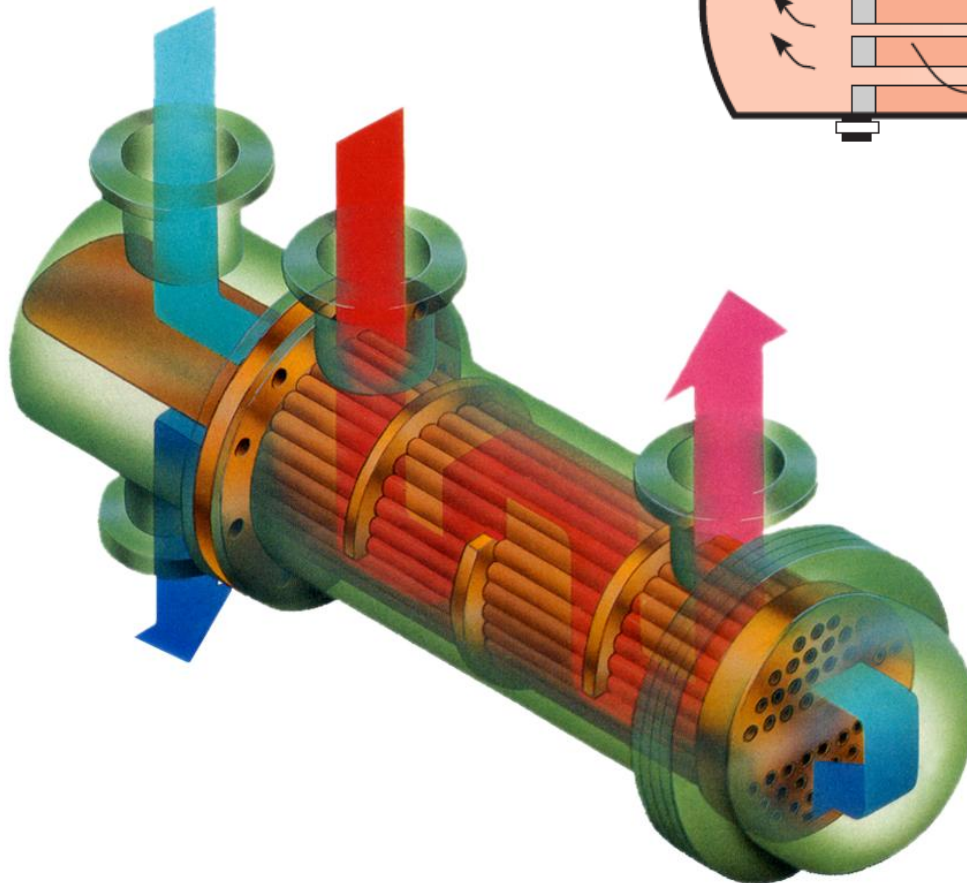
<http://www.rwholland.com/hairpin.html>



<http://www.jcequipments.com/double-pipe-heat-exchanger.html>

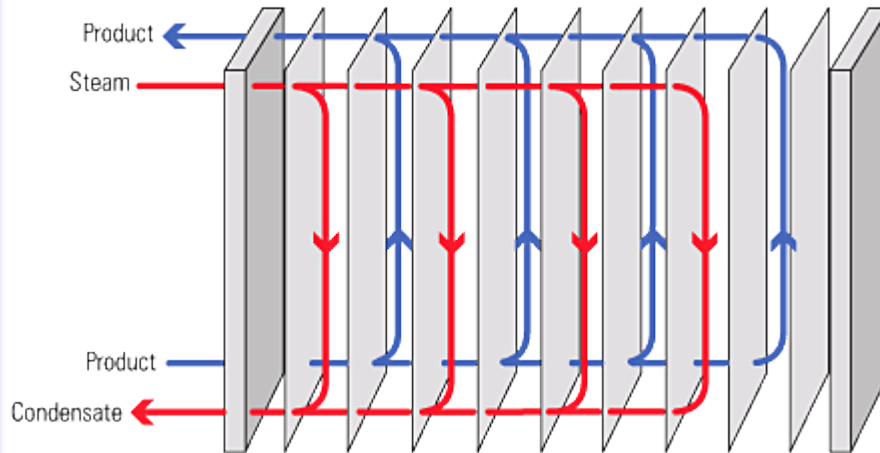
Tipos de Trocadores de Calor

2) Casco e Tubo



Tipos de Trocadores de Calor

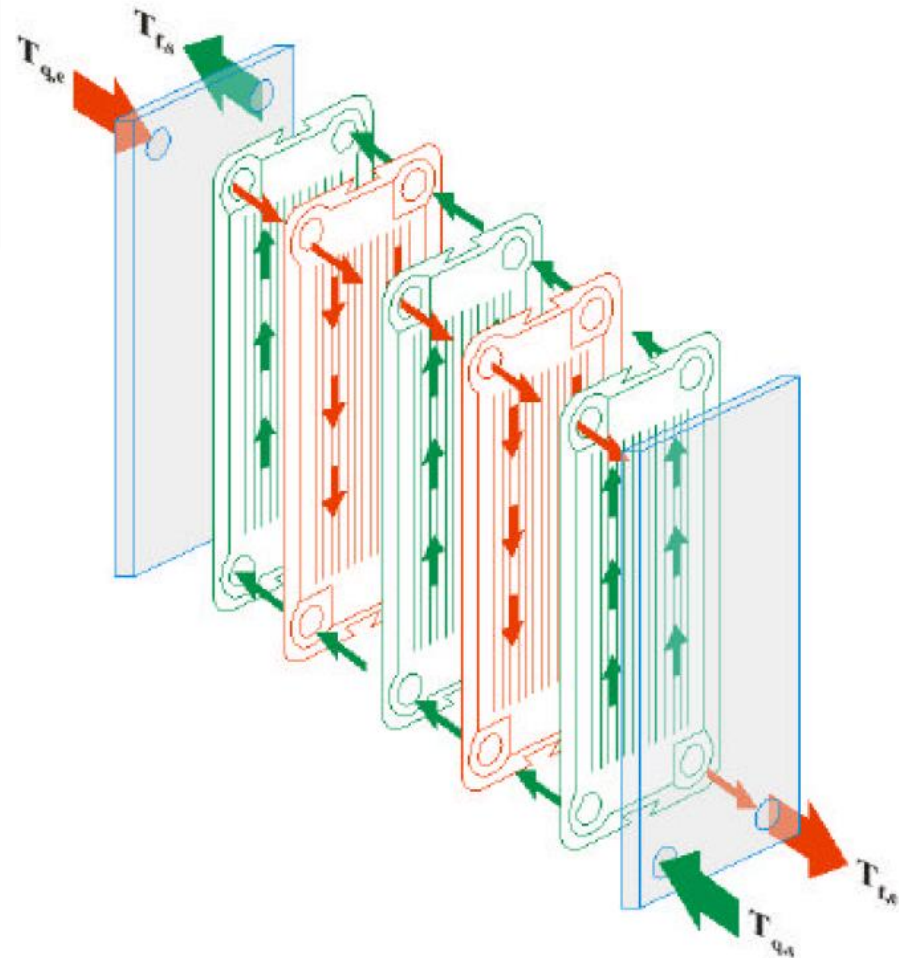
2) Trocador de Placas



<http://www.spiraxsarco.com/resources/steam-engineering-tutorials/steam-engineering-principles-and-heat-transfer/steam-consumption-of-heat-exchangers.asp>

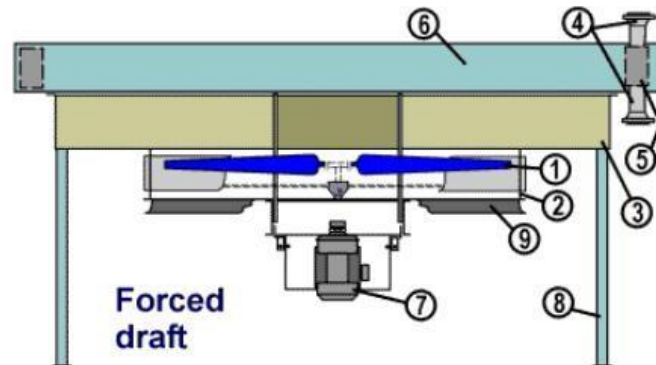
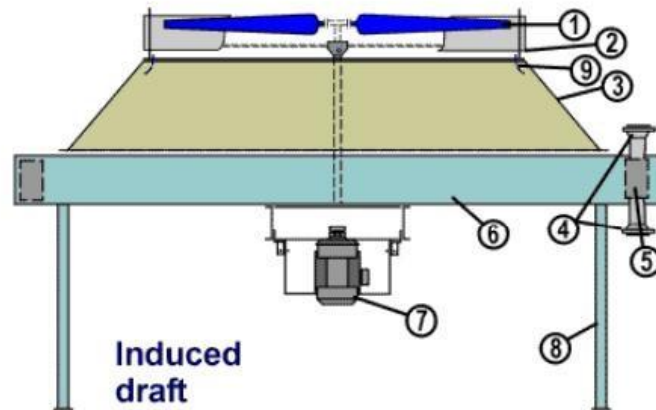


<http://www.tranter.com/Pages/about-us/plate-heat-exchangers.aspx>



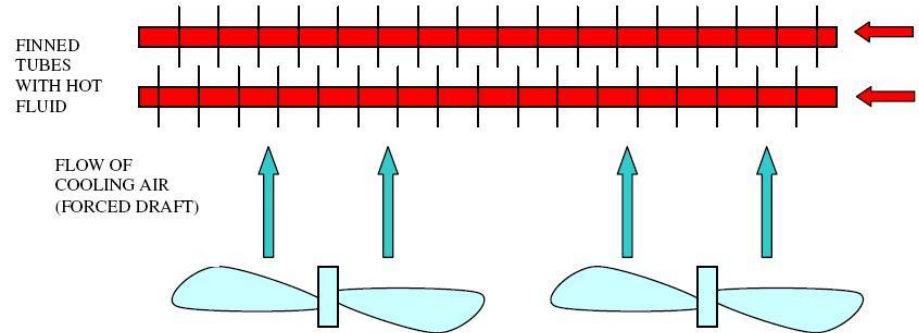
Tipos de Trocadores de Calor

2) Air Cooler



- | | | |
|-------------|----------------|-------------------|
| 1. Fan | 4. Nozzle | 7. Drive assembly |
| 2. Fan ring | 5. Header | 8. Column support |
| 3. Plenum | 6. Tube bundle | 9. Inlet bell |

<http://www.pramukhengineering.com/heatexchange.html>



<http://www.enggcyclopedia.com/2011/05/heat-exchanger-types/>



<http://www.decometa.com/CMS/index.php/en/Air-cooled-heat-exchangers---Process-Coolers/Air-cooled-heat-exchangers>

Coeficiente Global de Transferência de Calor

Considerando convecção em um fluido, condução na parede sólida (plana ou cilíndrica) e convecção no outro fluido, temos para o coeficiente global de transferência de calor:

$$\frac{1}{UA} = \frac{1}{U_c A_c} = \frac{1}{U_h A_h} = \frac{1}{(hA)_c} + R_w + \frac{1}{(hA)_h}$$

Porém, pode haver deposição e/ou incrustação decorrentes de impurezas contidas nos fluidos ou mesmo de reações entre o fluido e o material da parede (*fouling*) que irão aumentar a resistência à transferência de calor entre os fluidos. Essa resistência térmica é chamada de fator de incrustação R''_f . Seu valor depende de temperatura de operação, velocidade do fluido e comprimento útil do trocador. Levando isso em consideração, o coeficiente global fica:

$$\frac{1}{UA} = \frac{1}{U_c A_c} = \frac{1}{U_h A_h} = \frac{1}{(hA)_c} + \frac{R''_{f,c}}{A_c} + R_w + \frac{R''_{f,h}}{A_h} + \frac{1}{(hA)_h}$$

Coeficiente Global de Transferência de Calor

Podemos ainda considerar a presença de aletas. Nesse caso, de modo a considerar a resistência por incrustação também, temos:

$$q = \eta_0 h A (T_b - T_\infty) = \eta_0 h A \theta_b$$

O coeficiente global de transferência de calor no trocador então fica:

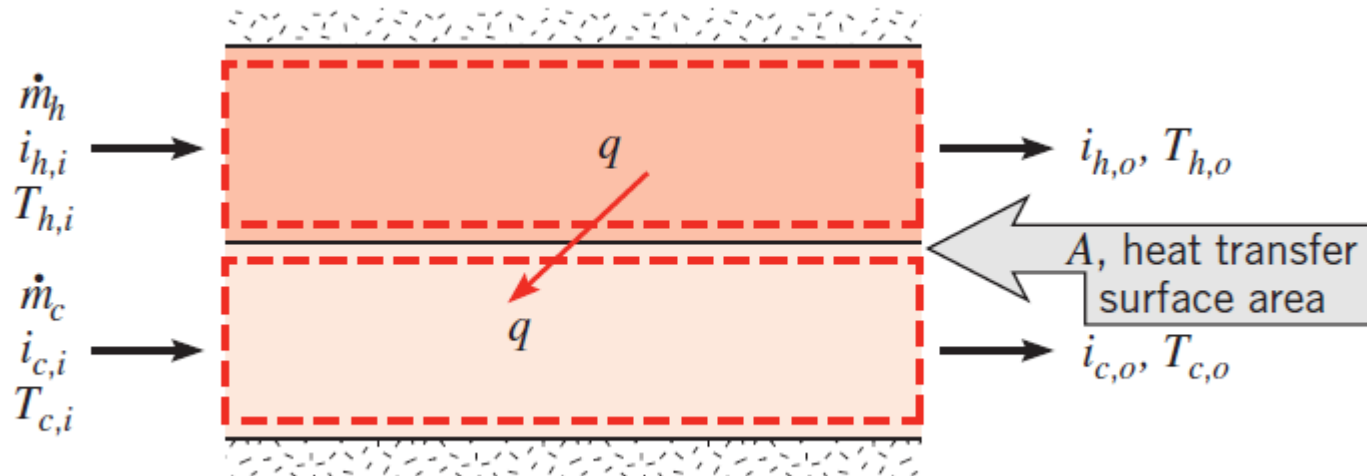
$$\frac{1}{UA} = \frac{1}{U_c A_c} = \frac{1}{U_h A_h} = \frac{1}{(\eta_0 h A)_c} + \frac{R''_{f,c}}{(\eta_0 A)_c} + R_w + \frac{1}{(\eta_0 h A)_h} + \frac{R''_{f,h}}{(\eta_0 A)_h}$$

em que η_0 é a eficiência global da superfície aletada, dada por:

$$\eta_0 = 1 - \frac{A_a}{A} (1 - \eta_a)$$

Sendo A a área total (aleta + base exposta), A_a a área das aletas e η_a a eficiência de uma aleta.

Média Logarítmica da Temperatura



$$q = m_h(i_{h,i} - i_{h,o}) \longrightarrow q = m_h c_{p,h}(T_{h,i} - T_{h,o}) \Rightarrow C_h = \frac{q}{T_{h,i} - T_{h,o}}$$

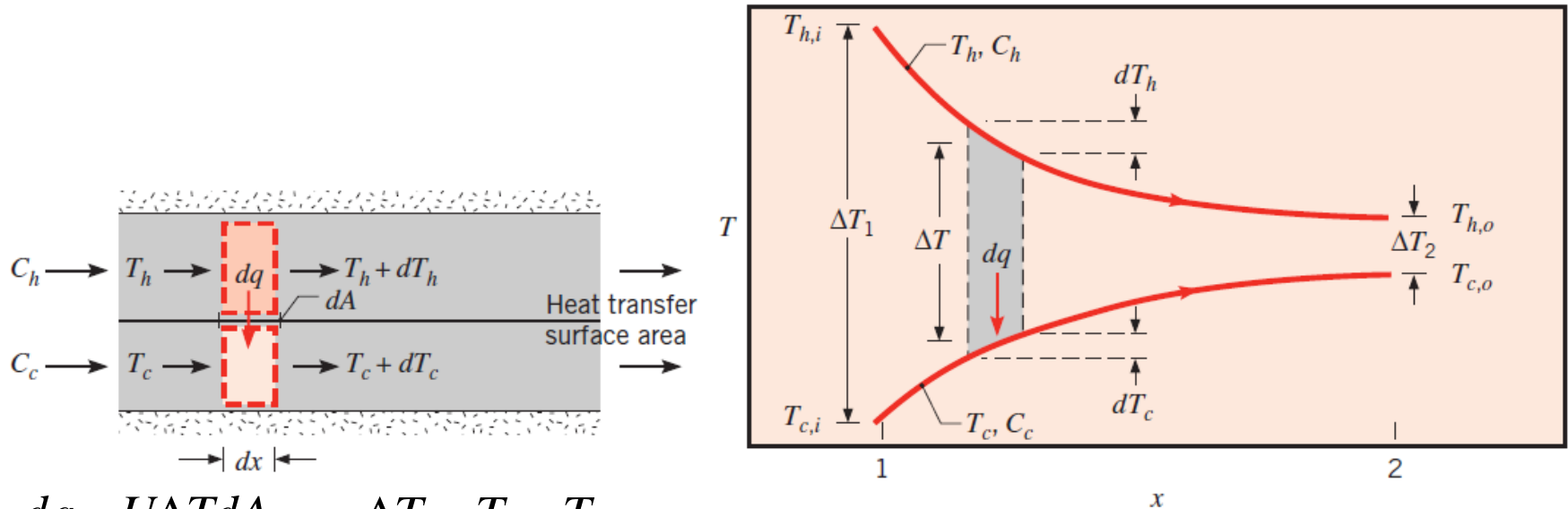
$$q = m_c(i_{c,o} - i_{c,i}) \longrightarrow q = m_c c_{p,c}(T_{c,o} - T_{c,i}) \Rightarrow C_c = \frac{q}{T_{c,o} - T_{c,i}}$$

Podemos também relacionar q com a diferença de temperatura entre os fluidos $\Delta T = T_h - T_c$:

$$q = UA\Delta T_m$$

Média Logarítmica da Temperatura

Correntes Paralelas



$$dq = U\Delta T dA \quad \Delta T = T_h - T_c$$

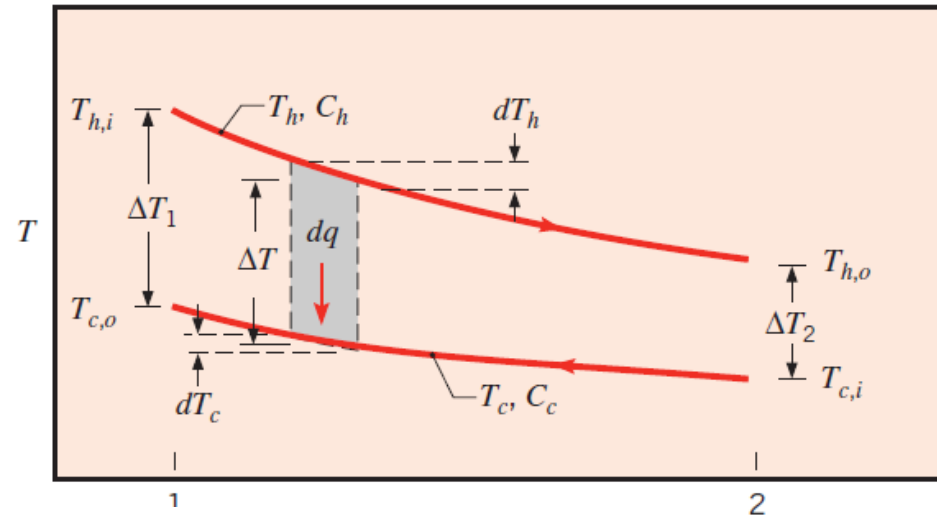
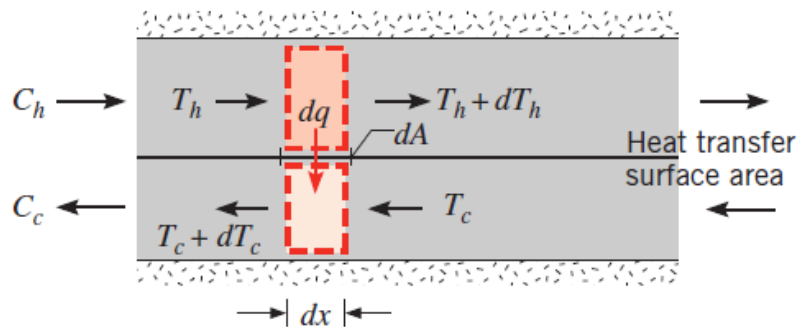
$$d(\Delta T) = dT_h - dT_c = -\frac{dq}{C_h} + \frac{dq}{C_c} = -dq \left(\frac{1}{C_h} - \frac{1}{C_c} \right)$$

$$d(\Delta T) = -dq \left(\frac{1}{C_h} + \frac{1}{C_c} \right) = -U\Delta T \left(\frac{1}{C_h} + \frac{1}{C_c} \right) dA \Rightarrow \int_1^2 \frac{d(\Delta T)}{\Delta T} = -U \left(\frac{1}{C_h} + \frac{1}{C_c} \right) \int_1^2 dA$$

$$\ln \frac{\Delta T_2}{\Delta T_1} = -UA \left(\frac{1}{C_h} + \frac{1}{C_c} \right) = -UA \left(\frac{T_{h,i} - T_{h,o}}{q} + \frac{T_{c,o} - T_{c,i}}{q} \right) \Rightarrow q = UA \frac{\Delta T_2 - \Delta T_1}{\ln(\Delta T_2 / \Delta T_1)}$$

Média Logarítmica da Temperatura

Correntes Contrárias



$$dq = U \Delta T dA$$

$$d(\Delta T) = dT_h - dT_c$$

$$d(\Delta T) = -dq \left(\frac{1}{C_h} - \frac{1}{C_c} \right)$$

$$\int_1^2 \frac{d(\Delta T)}{\Delta T} = -U \left(\frac{1}{C_h} - \frac{1}{C_c} \right) \int_1^2 dA$$

$$\ln \left(\frac{\Delta T_2}{\Delta T_1} \right) = -UA \left(\frac{1}{C_h} - \frac{1}{C_c} \right) = -UA \left(\frac{T_{h,i} - T_{h,o}}{q} - \frac{T_{c,o} - T_{c,i}}{q} \right) \Rightarrow q = UA \frac{\Delta T_2 - \Delta T_1}{\ln(\Delta T_2 / \Delta T_1)}$$

Média Logarítmica da Temperatura

$$q = UA \frac{\Delta T_2 - \Delta T_1}{\ln (\Delta T_2 / \Delta T_1)}$$

Correntes Paralelas:

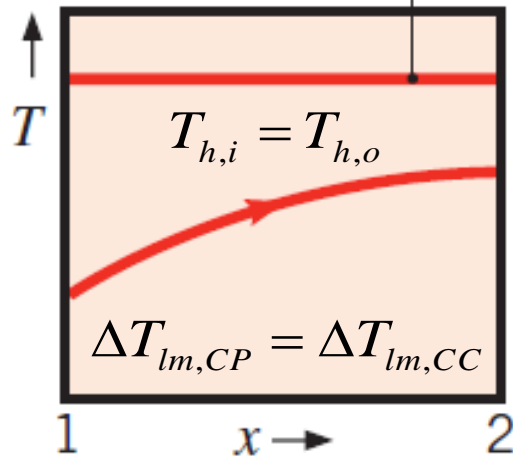
$$\begin{bmatrix} \Delta T_1 \equiv T_{h,1} - T_{c,1} = T_{h,i} - T_{c,i} \\ \Delta T_2 \equiv T_{h,2} - T_{c,2} = T_{h,o} - T_{c,o} \end{bmatrix}$$

Correntes Contrárias:

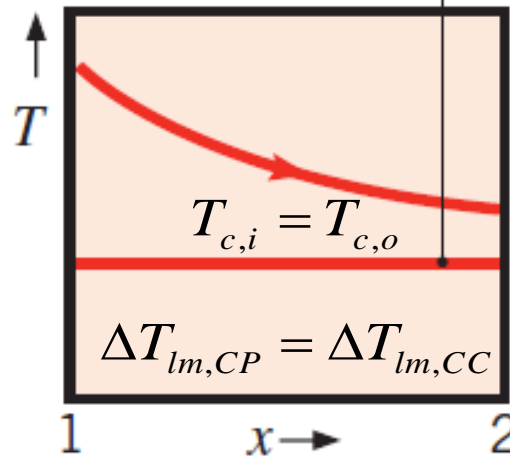
$$\begin{bmatrix} \Delta T_1 \equiv T_{h,1} - T_{c,1} = T_{h,i} - T_{c,o} \\ \Delta T_2 \equiv T_{h,2} - T_{c,2} = T_{h,o} - T_{c,i} \end{bmatrix}$$

Condições Especiais

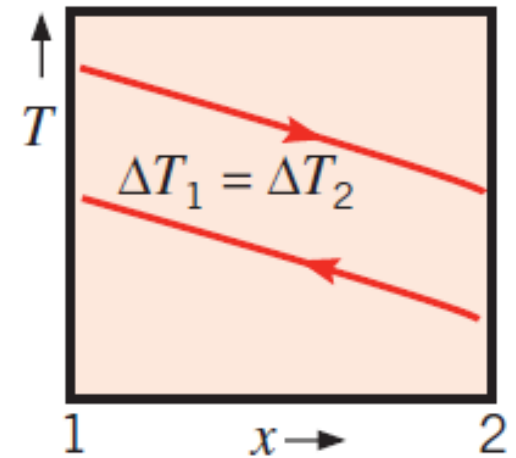
$C_h \gg C_c$
or a condensing
vapor ($C_h \rightarrow \infty$)



$C_h \ll C_c$ or
an evaporating
liquid ($C_c \rightarrow \infty$)



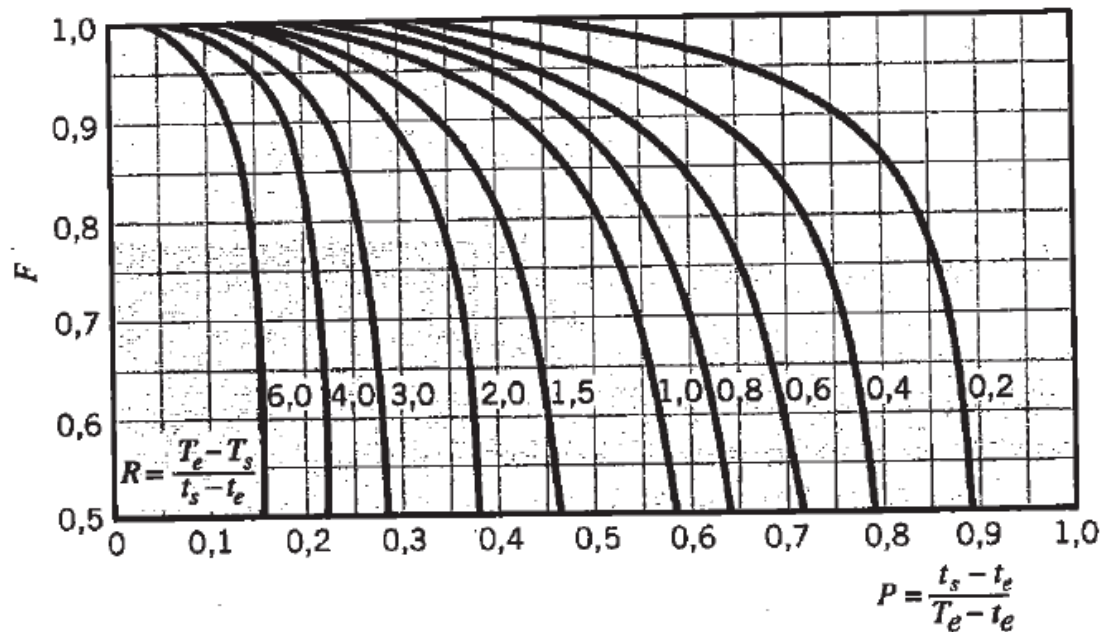
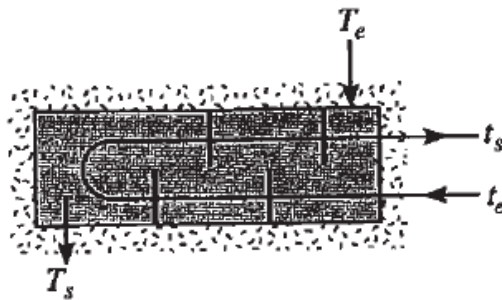
$C_c = C_h$



MLDT para Passes Múltiplos e Correntes Cruzadas

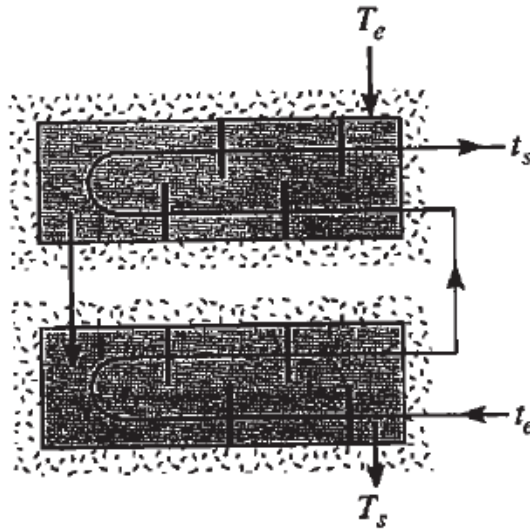
Para tipos diferentes de trocadores de calor, pode-se usar uma correção à média logarítmica da temperatura:

$$\Delta T_{lm} = F \Delta T_{lm,CC}$$

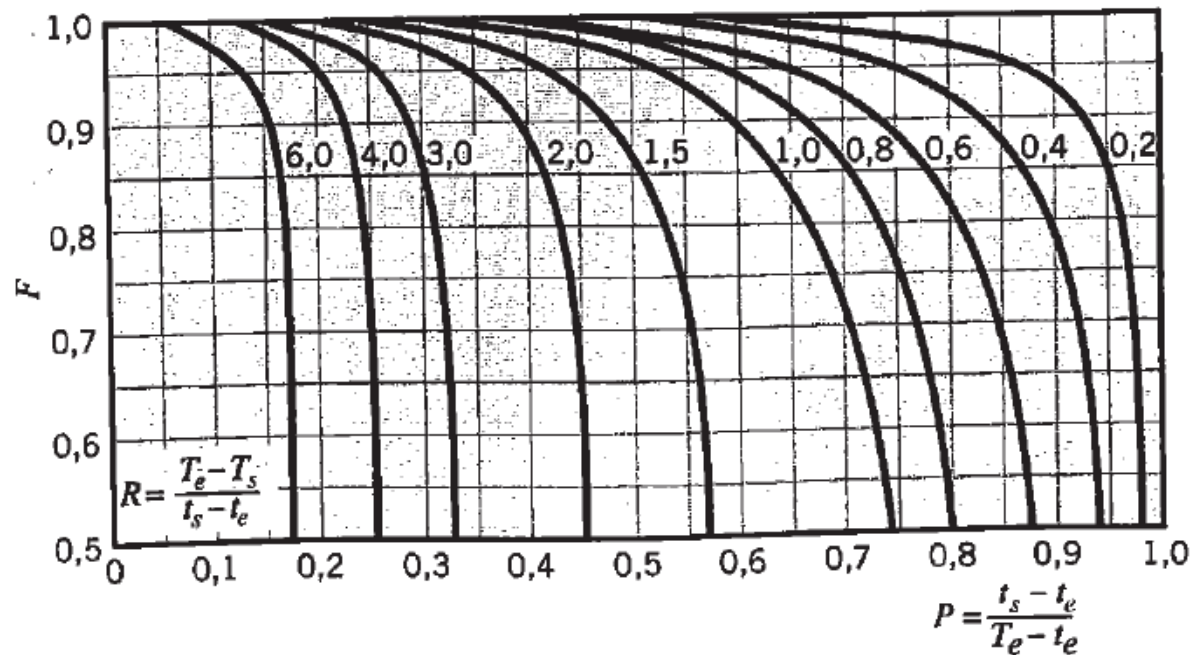


Fator de correção F para trocadores de calor casco e tubo com um passe no casco e múltiplo de dois passes nos tubos (dois, quatro, etc.)

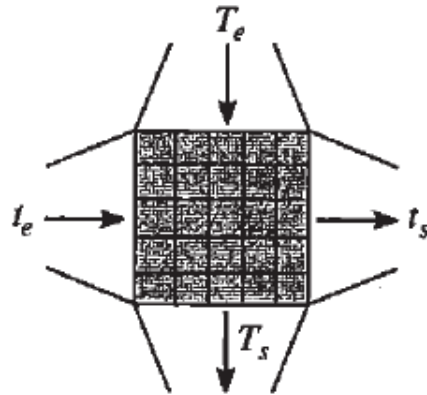
MLDT para Passes Múltiplos e Correntes Cruzadas



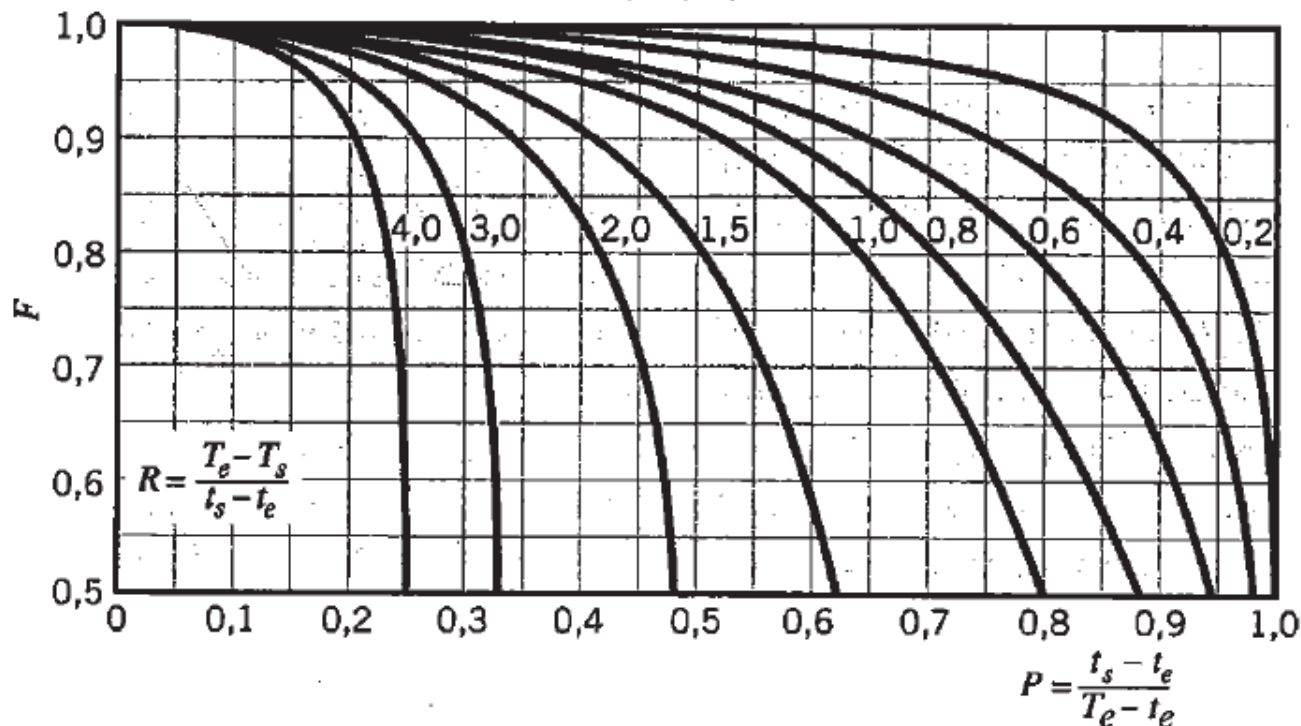
Fator de correção F para trocadores de calor casco e tubo com dois passes no casco e múltiplo de quatro passes nos tubos (quatro, oito, etc.).



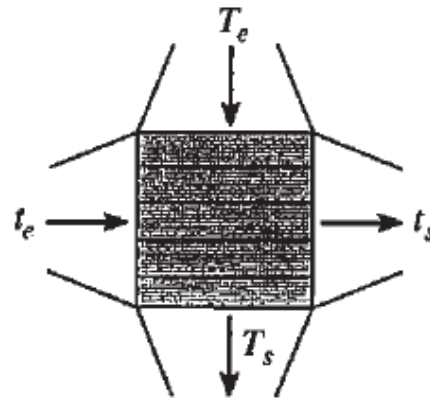
MLDT para Passes Múltiplos e Correntes Cruzadas



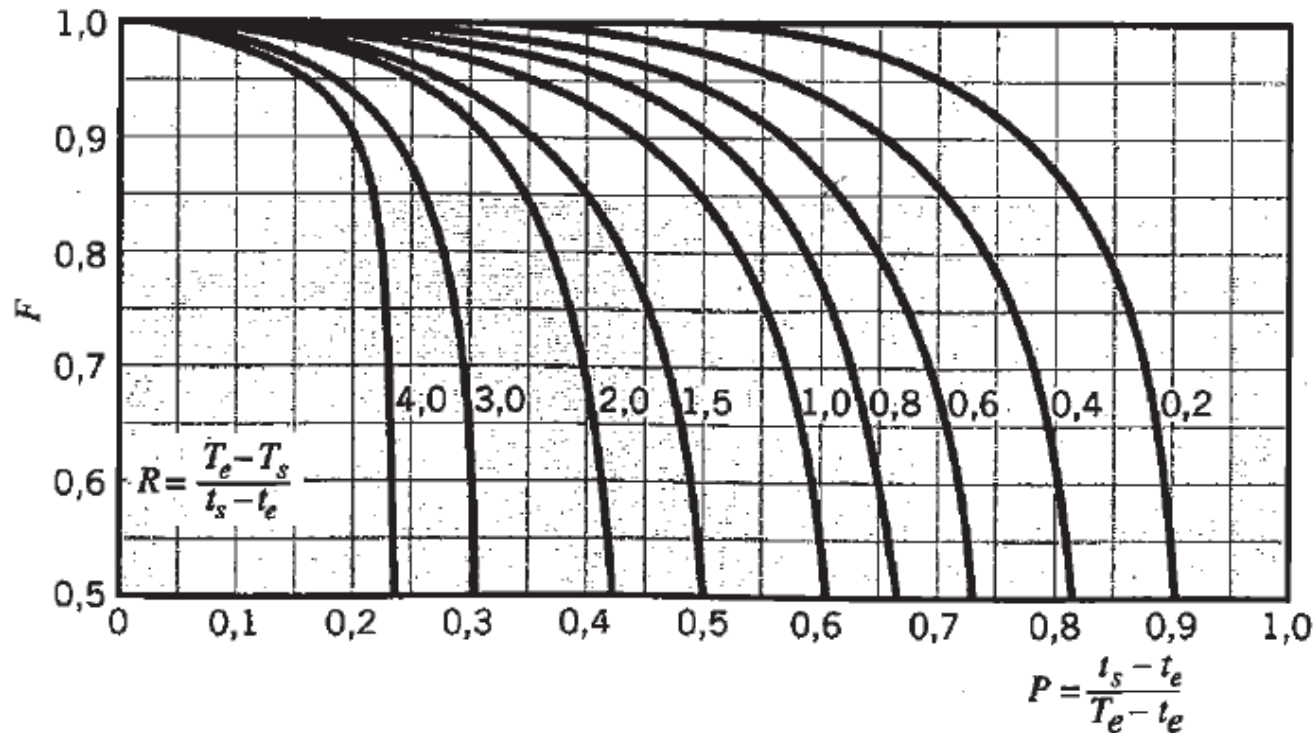
Fator de correção F para trocadores de calor de passe único com correntes cruzadas sendo os dois fluidos não misturados



MLDT para Passes Múltiplos e Correntes Cruzadas



Fator de correção F para trocadores de calor de passe único com correntes cruzadas sendo um fluido misturado e o outro não misturado.



Método da Efetividade de NUT

Para casos em que as temperaturas de saída não são conhecidas, o cálculo da média logarítmica torna-se iterativo. Uma outra possível abordagem para cálculo de trocadores de calor, que elimina a necessidade de método iterativo nessas situações é o chamado método da efetividade de NUT.

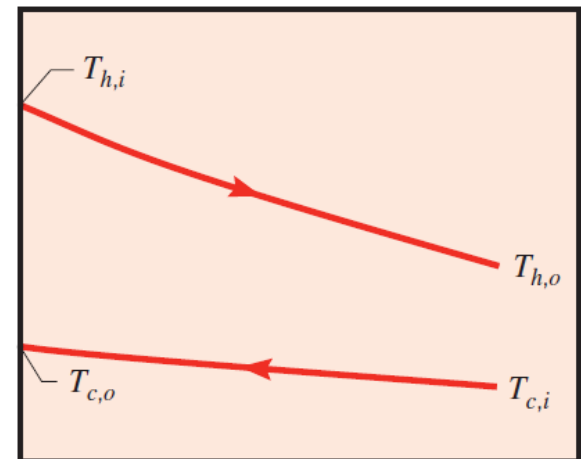
$$\text{Efetividade } \varepsilon = \frac{q}{q_{\max}}$$

$$q = C_c \Delta T_c = C_h \Delta T_h$$

$$0 \leq \varepsilon \leq 1$$

Taxa máxima de transferência de calor num trocador: q_{\max}

contra corrente



$$q_{\max} = C_{\min} (T_{h,i} - T_{c,i})$$

Método da Efetividade de NUT

$$\varepsilon = \frac{q}{q_{\max}} = \begin{cases} C_c < C_h \Rightarrow C_c = C_{\min} \Rightarrow \varepsilon = \frac{\cancel{C_c}(T_{c,o} - T_{c,i})}{\cancel{C_{\min}}(T_{h,i} - T_{c,i})} = \frac{(T_{c,o} - T_{c,i})}{(T_{h,i} - T_{c,i})} \\ C_h < C_c \Rightarrow C_h = C_{\min} \Rightarrow \varepsilon = \frac{\cancel{C_h}(T_{h,i} - T_{h,o})}{\cancel{C_{\min}}(T_{h,i} - T_{c,i})} = \frac{(T_{h,i} - T_{h,o})}{(T_{h,i} - T_{c,i})} \end{cases}$$

$$q = \varepsilon C_{\min}(T_{h,i} - T_{c,i}) = C_c \Delta T_c = C_h \Delta T_h$$

$$\text{Número de Unidades de Transferência: } \text{NUT} \equiv \frac{UA}{C_{\min}}$$

$$\text{Pode-se então mostrar que: } \varepsilon = f\left(\text{NUT}, \frac{C_{\min}}{C_{\max}}\right)$$

Cálculo de Projeto: $T_{h,o}$ e $T_{c,o} \rightarrow \varepsilon \rightarrow \text{NUT} \rightarrow A$

Cálculo de Desempenho: $A \rightarrow \text{NUT} \rightarrow \varepsilon \rightarrow q \rightarrow T_{h,o}$ e $T_{c,o}$

Método da Efetividade de NUT

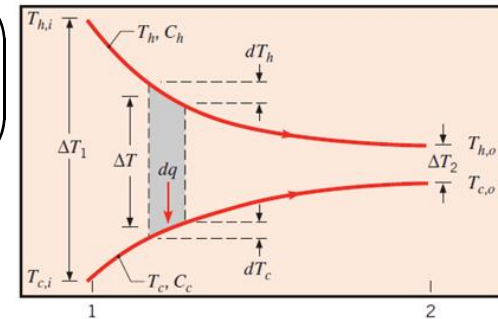
Relações de Efetividade – Exemplo: trocador com **correntes paralelas** e $C_{\min} = C_h$

$$\varepsilon = \frac{(T_{h,i} - T_{h,o})}{(T_{h,i} - T_{c,i})} \quad \frac{C_{\min}}{C_{\max}} = \frac{C_h}{C_c} = \frac{\Delta T_c}{\Delta T_h} = \frac{(T_{c,o} - T_{c,i})}{(T_{h,i} - T_{h,o})}$$

Partindo da Equação CP:

$$\ln \frac{\Delta T_2}{\Delta T_1} = -UA \left(\frac{1}{C_h} + \frac{1}{C_c} \right) \Rightarrow \ln \frac{(T_{h,o} - T_{c,o})}{(T_{h,i} - T_{c,i})} = -\frac{UA}{C_h} \left(1 + \frac{C_h}{C_c} \right)$$

$$\frac{(T_{h,o} - T_{c,o})}{(T_{h,i} - T_{c,i})} = \exp \left[-NUT \left(1 + \frac{C_{\min}}{C_{\max}} \right) \right]$$



$$\frac{(T_{h,o} - T_{c,o})}{(T_{h,i} - T_{c,i})} = \frac{(T_{h,o} - T_{h,i} + T_{h,i} - T_{c,o})}{(T_{h,i} - T_{c,i})} = \frac{(T_{h,o} - T_{h,i}) + (T_{h,i} - T_{c,i}) - (C_{\min} / C_{\max})(T_{h,i} - T_{h,o})}{(T_{h,i} - T_{c,i})}$$

$$\frac{(T_{h,o} - T_{c,o})}{(T_{h,i} - T_{c,i})} = -\varepsilon + 1 - \left(\frac{C_{\min}}{C_{\max}} \right) \varepsilon = 1 - \varepsilon \left(1 + \frac{C_{\min}}{C_{\max}} \right)$$

$$1 - \varepsilon \left(1 + \frac{C_{\min}}{C_{\max}} \right) = \exp \left[-NUT \left(1 + \frac{C_{\min}}{C_{\max}} \right) \right] \Rightarrow \varepsilon = \frac{1 - \exp \left[-NUT \left(1 + C_{\min} / C_{\max} \right) \right]}{\left(1 + C_{\min} / C_{\max} \right)}$$

Método da Efetividade de NUT

Relações de Efetividade

Flow Arrangement	Relation	
Parallel ow	$\varepsilon = \frac{1 - \exp[-NTU(1 + C_r)]}{1 + C_r}$	(11.28a)
Counterow	$\varepsilon = \frac{1 - \exp[-NTU(1 - C_r)]}{1 - C_r \exp[-NTU(1 - C_r)]}$	$(C_r < 1)$
	$\varepsilon = \frac{NTU}{1 + NTU}$	$(C_r = 1)$ (11.29a)
Shell-and-tube		
One shell pass (2, 4, . . . tube passes)	$\varepsilon_1 = 2 \left\{ 1 + C_r + (1 + C_r^2)^{1/2} \times \frac{1 + \exp[-(NTU)_1(1 + C_r^2)^{1/2}]}{1 - \exp[-(NTU)_1(1 + C_r^2)^{1/2}]} \right\}^{-1}$	(11.30a)
n shell passes ($2n, 4n, . . .$ tube passes)	$\varepsilon = \left[\left(\frac{1 - \varepsilon_1 C_r}{1 - \varepsilon_1} \right)^n - 1 \right] \left[\left(\frac{1 - \varepsilon_1 C_r}{1 - \varepsilon_1} \right)^n - C_r \right]^{-1}$	(11.31a)
Cross-ow (single pass)		
Both fluids unmixed	$\varepsilon = 1 - \exp \left[\left(\frac{1}{C_r} \right) (NTU)^{0.22} \{ \exp[-C_r(NTU)^{0.78}] - 1 \} \right]$	(11.32)
C_{\max} (mixed), C_{\min} (unmixed)	$\varepsilon = \left(\frac{1}{C_r} \right) (1 - \exp \{ -C_r [1 - \exp(-NTU)] \})$	(11.33a)
C_{\min} (mixed), C_{\max} (unmixed)	$\varepsilon = 1 - \exp(-C_r^{-1} \{ 1 - \exp[-C_r(NTU)] \})$	(11.34a)
All exchangers ($C_r = 0$)	$\varepsilon = 1 - \exp(-NTU)$	(11.35a)

Método da Efetividade de NUT

Relações NUT

$$NTU = f\left(\varepsilon, \frac{C_{\min}}{C_{\max}}\right)$$

Flow Arrangement	Relation	
Parallel ow	$NTU = -\frac{\ln [1 - \varepsilon(1 + C_r)]}{1 + C_r}$	(11.28b)
Counterow	$NTU = \frac{1}{C_r - 1} \ln \left(\frac{\varepsilon - 1}{\varepsilon C_r - 1} \right) \quad (C_r < 1)$	
	$NTU = \frac{\varepsilon}{1 - \varepsilon} \quad (C_r = 1)$	(11.29b)
Shell-and-tube		
One shell pass (2, 4, . . . tube passes)	$(NTU)_1 = -(1 + C_r^2)^{-1/2} \ln \left(\frac{E - 1}{E + 1} \right)$	(11.30b)
	$E = \frac{2/\varepsilon_1 - (1 + C_r)}{(1 + C_r^2)^{1/2}}$	(11.30c)
n shell passes (2n, 4n, . . . tube passes)	Use Equations 11.30b and 11.30c with $\varepsilon_1 = \frac{F - 1}{F - C_r} \quad F = \left(\frac{\varepsilon C_r - 1}{\varepsilon - 1} \right)^{1/n} \quad NTU = n(NTU)_1$	(11.31b, c, d)
Cross-ow (single pass)		
C_{\max} (mixed), C_{\min} (unmixed)	$NTU = -\ln \left[1 + \left(\frac{1}{C_r} \right) \ln(1 - \varepsilon C_r) \right]$	(11.33b)
C_{\min} (mixed), C_{\max} (unmixed)	$NTU = -\left(\frac{1}{C_r} \right) \ln [C_r \ln(1 - \varepsilon) + 1]$	(11.34b)
All exchangers ($C_r = 0$)	$NTU = -\ln(1 - \varepsilon)$	(11.35b) 24

Método da Efetividade de NUT

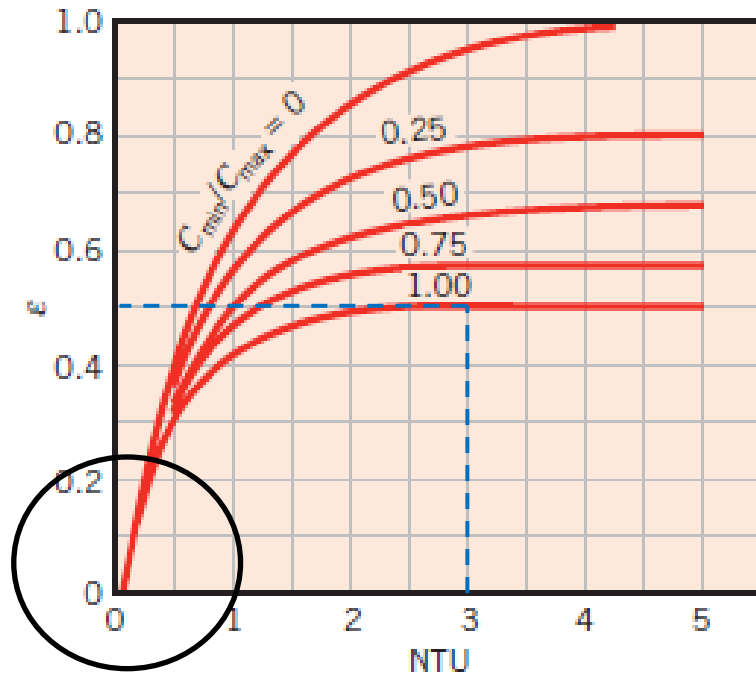


FIGURE 11.10 Effectiveness of a parallel-flow heat exchanger (Equation 11.28).

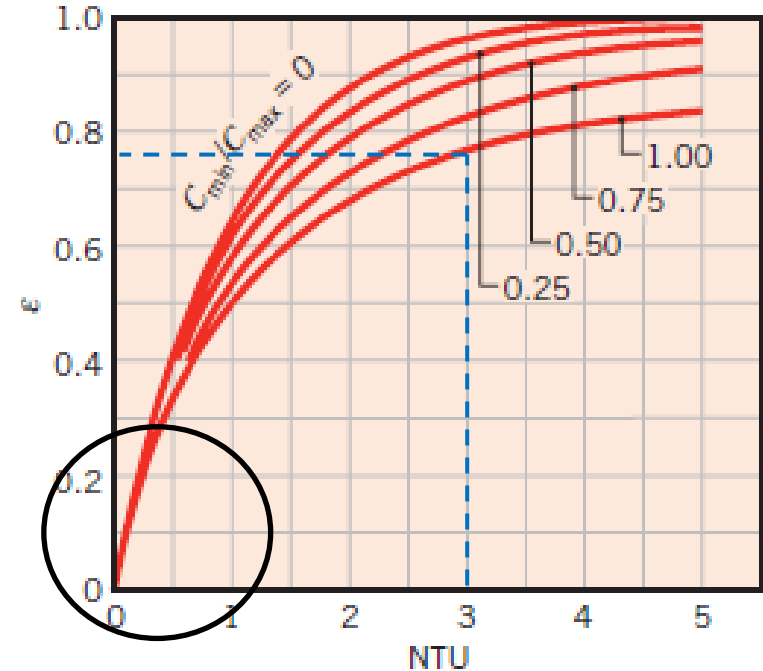


FIGURE 11.11 Effectiveness of a counterflow heat exchanger (Equation 11.29).

Método da Efetividade de NUT

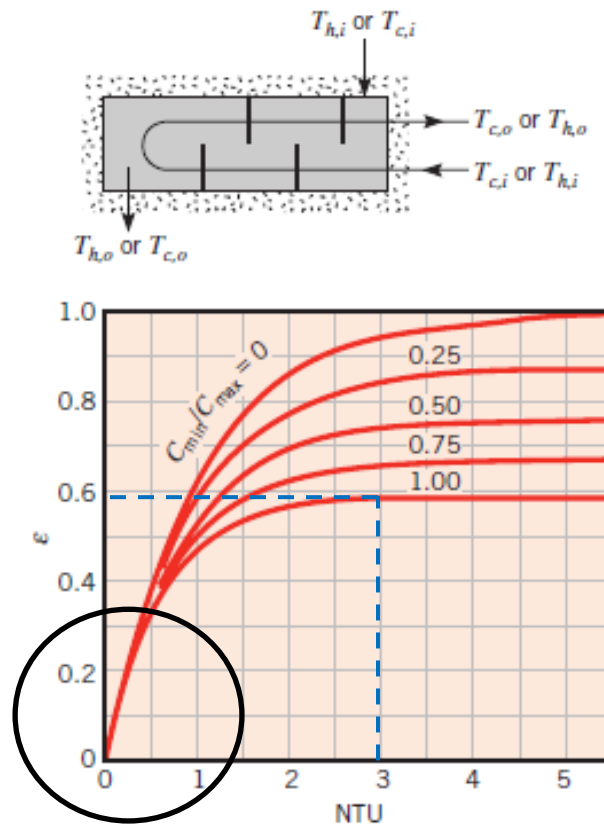


FIGURE 11.12 Effectiveness of a shell-and-tube heat exchanger with one shell and any multiple of two tube passes (two, four, etc. tube passes) (Equation 11.30).

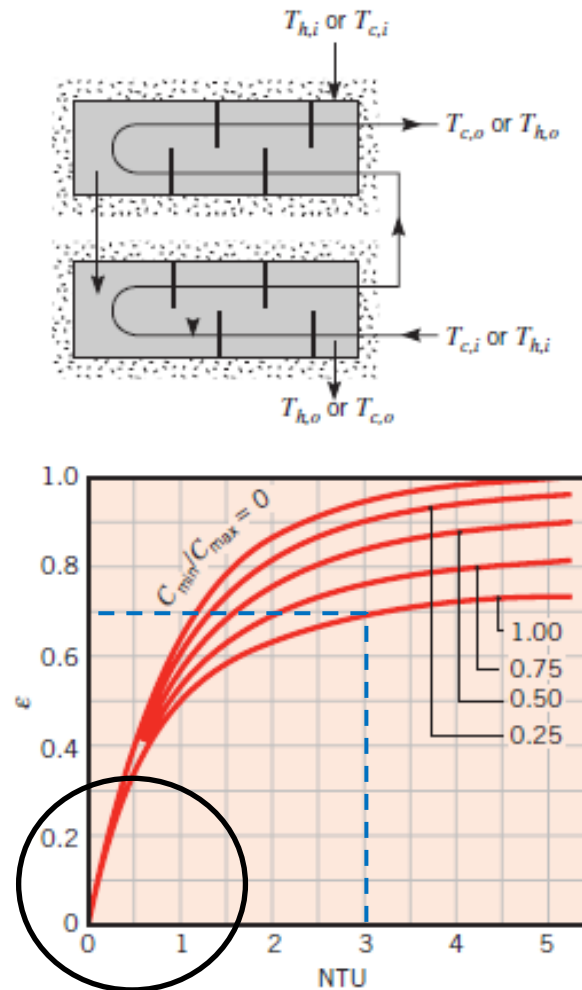


FIGURE 11.13 Effectiveness of a shell-and-tube heat exchanger with two shell passes and any multiple of four tube passes (four, eight, etc. tube passes) (Equation 11.31 with $n = 2$).

Método da Efetividade de NUT

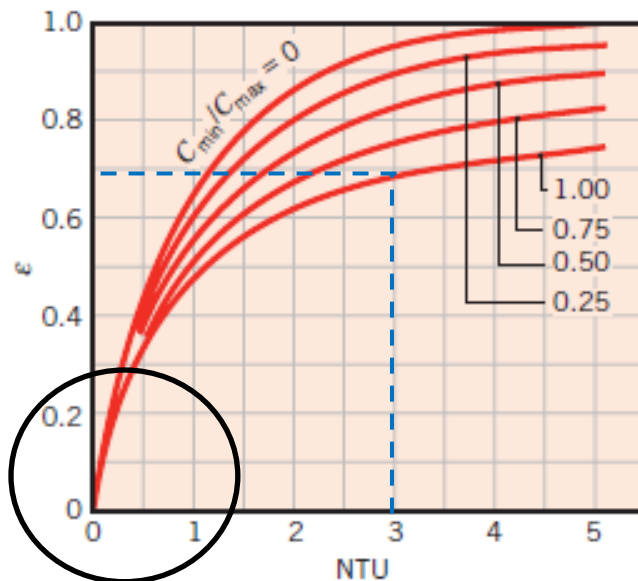
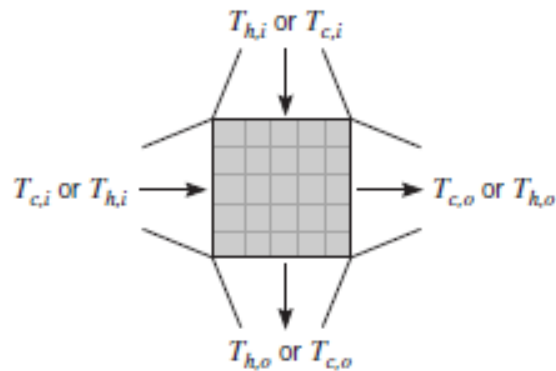


FIGURE 11.14 Effectiveness of a single-pass, cross-flow heat exchanger with both fluids unmixed (Equation 11.32).

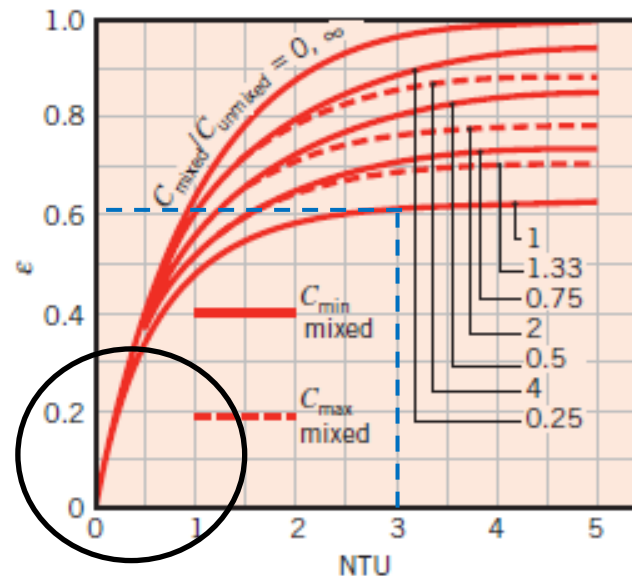
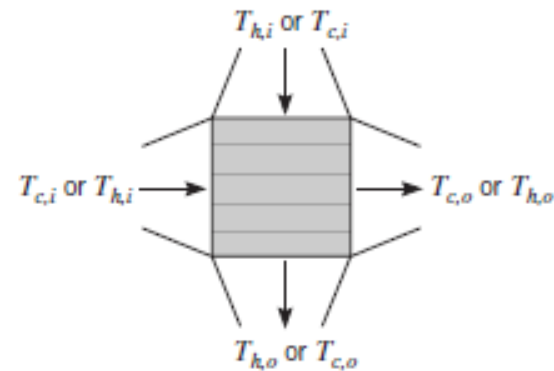


FIGURE 11.15 Effectiveness of a single-pass, cross-flow heat exchanger with one fluid mixed and the other unmixed (Equations 11.33, 11.34).

Método da Efetividade de NUT

Observações dos gráficos:

- Se $C_r=0$, todos os gráficos dão o mesmo resultado, correspondente à última linha das tabelas: $\varepsilon = 1 - \exp(-NUT)$ ou $NUT = -\ln(1 - \varepsilon)$.
- Se $NUT \lesssim 0,25$, ε é aproximadamente o mesmo para todos os trocadores (independe de C_r) e pode-se então usar as correlações mais simples para $C_r=0 \rightarrow$ última linha das tabelas: $\varepsilon = 1 - \exp(-NUT)$ ou $NUT = -\ln(1 - \varepsilon)$.
- Para $C_r>0$ e $NUT>0,25$, o trocador mais efetivo é o de correntes contrárias.
- Para qualquer trocador, ε máximo está associado à $C_r=0$ e ε mínimo, à $C_r=1$.

Metodologia de Cálculo de um Trocador

Problemas de projeto de trocadores de calor: temperaturas de entrada e saída conhecidas:

- tem-se q , U e pode-se calcular a média logarítmica da temperatura para determinar a área de troca térmica necessária.

OU

- calcula-se ϵ para achar NUT e assim determinar a área de troca térmica necessária.

Determinando-se o tipo de trocador, tem-se então sua geometria.

Problemas de cálculo de desempenho de trocadores de calor:

tipo e tamanho do trocador são conhecidos \rightarrow usa-se o método ϵ -NUT: conhecidos U e C_{\min}/C_{\max} , calcula-se NUT, acha-se ϵ , acha q e então determina-se as temperaturas de saída dos fluidos.